

## 食品 着色劑의 吸着에 關한 研究

朴 洪 球

世宗大學  
(1986년 12월 22일 수리)

Studies on the Adsorption of Coloring Food Additives

Hong-Koo Park

King Sejong University, Seoul, Korea

### Abstract

Solutions of food colorants were tested with insoluble drugs (kaolin, active carbon, talc, natural aluminum silicate) for their adsorption phenomena in purified water, gastric and intestinal fluid test solutions, respectively. The adsorption isotherms of kaolin with Red 2 in purified water, and active carbon with Red 2, 3, 40 in the three media, with Yellow 4 in purified water, gastric fluid, with Yellow 5 in intestinal fluid and natural aluminum silicate with Red 3 in purified water, intestinal fluid, with Yellow 4, 5 in purified water followed the Freundlich equation, and those of talc with Red 2, 3, Yellow 5 in the three media, with Red 40 in purified water, gastric fluid, with Yellow 4 in intestinal fluid fitted the Langmuir equation. With decrease of the alcohol content of aqueous solutions, the adsorption of coloring food additives is increased, but it decreased in high temperature. Also the activation energy of adsorption of coloring food additives by active carbon was determined.

### 緒 論

人口의 都市集中과 生活水準 向上으로 말미암아 加工食品의 需要是 날로 增加되고 있으며 이에 隨伴하여 食品添加物의 需要도 增加하는 것은 必然的인 現狀이다.<sup>1)</sup> 어린이에 있어서는 食用色素와 人工조미료의 大量 복용으로 不安, 충동행위, 기능 항진, 흥분성, 多動的 行動 等을 일으킬 수 있다고 보고하고 있다.<sup>2~5)</sup> 食品은 그 中에 元來 天然에 舍有한 色素에 의하여 各各 固有의 色을 구비하고 있다. 이러한 色素는 熱 또는 pH에 영향을 받기 쉽고 保存, 調理加工中에 變色을 가져온다. 食品의 色과 食欲間에는 密接한 關係가 있기 때문에 調理加工中에 잊었던 色을 元來의 色에 가깝게 하여 食欲을 자극시킨다. 이런 目的 때문에 食品着色劑가 使用된다. 옛날에는 植物 또는 動物體에 舍有

하는 色素가 食品 着色劑로 使用되었다. 그러나 1856년 파킨에 의하여 合成色素가 發見되고나서부터 우수한 特性을 가진 合成色素가 天然色素보다 더 널리 사용되어 食品의 着色劑는 오늘날 거의 合成色素가 使用되고 있다. 合成色素(tar 色素)는 色素自體가 가진 毒性은 따로 하더라도 製造工程中에 有害物이 混入하는 機會가 많다. 天然色素는 製造過程中에 硫素, 重金屬 등과 같은 有害物質이 含有하지 않을 경우는 使用이 認定되나 實際에는 價格, 抽出, 精製法, 毒性 等의 問題點이 있어 天然色素가 合成色素로 代用되기까지는 充分한 檢討가必要하다.

近年에는 生鮮, 野菜 등에도 着色을 行하는 경우가 있으며 食品添加物의 基本方向은 無用한 添加物의 使用을 排除하고 添加物의 人體로의 摄取量을도록 줄이려는 것이다. 1986년 현재 보사부가 허가한 合成着色劑는 tar 色素, tar 色素 aluminum

lake, 非 tar 系 着色劑 等 모두 20여 品目이며 이中 특히 青色1號, 赤色 2, 3, 40號, 黃色4, 5號, 그外 混合色素 等이 많이 使用되고 있다. 사용기준량은 1500ppm 미만으로 무엇보다 중요한 것은 食品製造業體들이 食品添加物의 사용기준량을 준수하는 일일 것이다. 金等<sup>6)</sup>은 食品添加物中 有害 微量金屬含量에 關한 研究를 보고한 바 있다. 不溶性物質에 可溶性物質이 溶解되어 있을 경우 前者에 後者가 吸着되어 그 結果는 物理的인 變化가 豫想되며 이에 대한 研究가 많이 進行되고 있다. Nogamit et al<sup>7~9)</sup>은 여려 藥品의 吸着에 對한 動力學的手段으로, Seller et al<sup>10)</sup>은 active carbon에 依한 barbiturates의 吸着, Park et al<sup>11)</sup>은 pH에 따른 色素의 吸着性, Choi et al<sup>12~13)</sup>은 식품착색료가  $\alpha$ -chymotrypsin의 작용에 대한 연구 등 吸着에 關한 研究가 報告되고 있다. 그러나 難溶性 藥品에 依한 食用色素의 吸着에 關하여는 報告가 없으며 따라서 著者は 食用色素의 多量服用, 連用時の in vitro에서의 吸着의 基礎材料를 얻는 研究의 一環으로서 현재 加工食品 製造에 常用하고 있고 食用色素와 醫藥品 製劑 및 調製에 흔히 配合, 常用되고 있는 不溶性 藥品 (kaolin, active carbon, talc, natural aluminum silicate 等)을 擇하여 蒸溜水, 人工胃液, 人工腸液中에서의 吸着現象을 研究하였고 더구나 一般的으로 解毒劑로 널리 使用하는 活性炭을 吸着質로 하였을 때 ethanol-water mixture에서의 吸着現象, 溫度에 따른 吸着變化, kinetics 等 몇 가지 知見을 얻었기에 이를 報告하는 바이다.

## 材料 및 方法

### 1. 材料

吸着質 : Kaolin, natural aluminum silicate (Kishida Chem. Co.), active carbon, talc (Yamata Co.) 등을  $105 \pm 5^\circ\text{C}$ 에서 4hrs. 乾燥하고 粉碎한 후 100 mesh로 篩別하여 使用하였다.

食品着色劑 : 食用色素 青色1號, 赤色2, 3, 40號, 黃色4, 5號(서울남영상사).

人工胃液, 人工腸液 : 大韓藥典에 準하였다.

### 2. 吸着試驗<sup>14~17)</sup>

各 食品色素剤를 蒸溜水, 人工胃液, 人工腸液에 溶解시킨 濃度가 10, 20, 30, 40, 50 $\mu\text{g}/\text{mL}$ 인 溶液 50 mL에 각 吸着質 100mg을 取하여 가한 후 20~25°

C에서 2시간 진탕한 다음 원심분리하여 上澄液의 吸光度를 測定하여 常法에 따라 濃度를 求하고 原濃度와의 差異로 吸着量을 求하였다. 吸着平衡 到達時間 測定도 吸着試驗과 같은 操作으로 測定하였다. 다만 진탕시간을 1, 2, 3, … 10시간으로 하였다.

### 3. 食品 着色劑의 定量<sup>18)</sup>

各 食品着色剤를 蒸溜水, 人工胃液, 人工腸液에 溶解하여 吸收極大波長 赤色2號(amaranth) 520 m $\mu$ , 赤色3號(erythrosine) 525m $\mu$ , 赤色40號 497  $\mu\text{m}$ , 黃色4號(tartrazine) 428m $\mu$ , 黃色5號(sunset yellow) 480 $\mu\text{m}$ , 青色1號(brilliant blue) 630m $\mu$ 에서 吸光度를 測定하여 檢量曲線에서 各 色素의 量을 求하였다.

### 4. 反應速度定數 測定<sup>19)</sup>

各 食品着色剤의 初濃度를  $5 \times 10^{-2}\text{g}/\text{l}$ 로 하고  $24^\circ$ ,  $34^\circ$ ,  $50^\circ\text{C}$ 의 각각 다른 온도에서 活性炭 1g에 各 食品着色剤 溶液을 吸着시킨 후 吸着된 色素量을 求하였다. Goodwin의 式<sup>20)</sup>을 利用하여  $K_{pore}$ 値을 求하고 Arrhenius 式에 依하여 吸着活性化 energy를 求하였다.

## 結果 및 考察

### 1. 吸着試驗

色素의 水溶液에 活性炭과 같은 것을 넣으면 液은 無色 또는 黃色이 되면서 色素가 活性炭에 吸着된다. 固體의 吸着質을 溶液과 接觸시키면 一定量의 吸着質에 의하여 吸着하는 溶質의 量은 溫度가 一定하면 溶質의 농도의 합수가 된다. 一定溫度에서 吸着量을 농도에 對하여 얻어진 曲선이 吸着等溫線의 形은 吸着質의 前處理, 吸着質의 種類에 依하여 變한다. 또 吸着現象은 液과 界面間に 有する 溶質의 分配라고 하면 吸着이 일어나는 界面이 넓을수록 또 吸着點의 數가 많을수록 鮑和吸着量이 크게 된다. 吸着에 同伴한 energy가 크면 그만큼 低濃度에서 鮑和吸着量에 近接한다. 이러한 吸着現象<sup>21)</sup>은 一定溫度下에 固體가 溶液과 接触할 때 그 界面에 溶質이 吸着되어 平衡이 成立된다는 理論을 展開한 Freundlich 定溫吸着方程式과 固體表面上의 氣體의 吸着은 氣體分子가 單分子層으로 되었을 때 誘導되는 式이고 液相系에도 適用되는 Langmuir 式에 適用시켜 보았다.

Freundlich 式：

$\frac{x}{m} = X$  : 吸着劑의 mg에 吸着된 溶質의  
量( $\mu\text{g/g}$ )

C : 吸着平衡後の 溶液の 濃度 ( $\mu\text{g}/\text{ml}$ )

$K, \frac{1}{n}$ : 吸着常數

Langmuir 式：

(3)式을 变形하여 (4)式을 얻는다.

$a, b$ : 定數

Freundlich 式  $\log \frac{x}{m}$  와  $\log C$  사이, 또 Langmuir

式  $\frac{C}{\frac{x}{m}}$  와 C 사이는 각각 直線關係가 成立한다. 各  
食品着色劑와 不溶性 藥品과의 吸着現象을 볼 때  
吸着試驗의 結果를 式 (2), (4)에 代入하여 얻은

것은 Table 1~4 와 같고 이 中에서 直線關係가 成立한 것을 圖示하면 Fig. 1~4 와 같다. Fig. 1 에서와 같이 赤色2號의 蒸溜水中에서의 kaolin 은 Freundlich式에 一致하였고, Fig. 2에서와 같이 赤色 2號, 3號, 40號의 3가지 溶液, 黃色 4號의 蒸溜水, 人工胃液, 黃色5號의 人工腸液中에서의 active carbon은 Freundlich 式에 一致하였다. 그리고 Fig. 3에서와 같이 赤色2號, 3號, 黃色5號의 3가지 溶液, 赤色 40號의 蒸溜水, 人工胃液, 黃色 4號의 人工腸液中에서의 talc는 Langmuir 式에 一致하였으며 Fig. 4에서와 같이 赤色 3號의 蒸溜水, 人工腸液, 黃色4號의 蒸溜水, 黃色 5號 蒸溜水中에서의 natural aluminum silicate는 Freundlich 式에 一致하였다. 青色 1號는 人工胃液, 人工腸液에서 吸光度를 實測할 때 色의 濃厚, 稀薄의 差가 아니라 色相이 달라서 吸着試驗을 行할 수 없었다. 各 食品着色劑와 吸着質의 吸着平衡 到達時間은 Table 5와 같다. 吸着試驗에서 振盪時間은 吸着量에 크게 영향을 주는 경우가 많기 때문에 吸着試驗에 가장 効果的인 振盪時間은 求하고자 振盪時間別 吸着量을 調査한 結果 3~8時間 振盪으로 吸着量의 증가는 거의 없이 平衡濃

**Table 1.** Adsorption of coloring food additives on kaolin in purified water, simulated gastric fluid T.S. and simulated intestinal fluid T.S.

Initial conc. ( $\mu\text{g}/\text{ml}$ )	Coloring food additives										
	Red 2		Red 3		Red 40		Yellow 4		Yellow 5		
	log c	log x	log c	log x	log c	log x	log c	log x	log c	log x	
Purified water	50	1.5877	1.0531	1.6232	0.9138	1.6180	0.9294	1.6405	0.7993	1.6212	0.9138
	40	1.4757	1.0043	1.5263	0.8062	1.4314	1.1139	1.3243	1.2765	1.3284	1.2718
	30	1.3345	0.9201	1.3802	0.7782	1.3010	1.0000	1.2122	1.1367	1.0531	1.2718
	20	1.1106	0.8513	1.1818	0.6812	0.9805	1.0170	1.0000	1.0000	0.8927	1.0864
	10	0.7007	0.6964	0.7356	0.6590	0.6222	0.7642	0.5611	0.8035	0.6314	0.7574
Simulated gastric fluid T.S.	50	1.5587	1.1399	1.5888	1.0492	1.5999	1.0086	1.5809	1.0755	1.6010	1.0043
	40	1.4014	1.1703	1.5011	0.9191	1.4216	1.1355	1.2788	1.3222	1.3263	1.2742
	30	1.2304	1.1139	1.3729	0.8089	1.2480	1.0899	1.0414	1.2788	1.1173	1.2279
	20	0.9525	1.0414	1.1614	0.7404	1.0645	0.9243	0.7993	1.1367	0.8014	1.1334
	10	0.5599	0.8041	0.6628	0.7324	0.6599	0.7348	0.5185	0.8261	0.6405	0.7505
Simulated intestinal fluid T.S.	50	1.6160	0.9395	1.6117	0.9590	1.5809	1.0755	1.6212	0.9138	1.6222	0.9085
	40	1.4843	0.9777	1.4800	0.9912	1.4014	1.1703	1.3962	1.1790	1.3598	1.2330
	30	1.2967	1.0086		1.9395	1.2742	1.0492	1.1271	1.2201	1.1399	1.2095
	20	1.0645	0.9243	1.1703	0.7160	0.9624	1.0334	0.8808	1.0934	0.9410	1.0492
	10	0.6128	0.7709	0.7251	0.6712	0.7853	0.5911	0.5441	0.8129	0.6201	0.7657

Table 2. Adsorption of coloring food additives on active carbon in purified water, simulated gastric fluid T.S. and simulated intestinal fluid T.S.

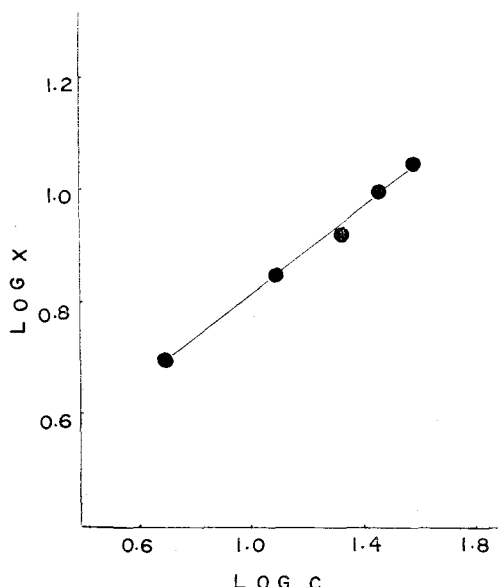
Initial conc. ( $\mu\text{g}/\text{ml}$ )	Coloring food additives									
	Red 2		Red 3		Red 40		Yellow 4		Yellow 5	
	log c	log x	log c	log x	log c	log x	log c	log x	log c	log x
Purified water	50	1.4393	1.3522	1.5315	1.2041	1.3032	1.4757	1.4216	1.3729	1.5809
	40	1.3284	1.2718	1.4330	1.1106	1.2014	1.3820	1.3201	1.2810	1.2923
	30	1.1492	1.2014	1.2810	1.0374	1.0828	1.2529	1.1614	1.1903	1.0645
	20	0.8865	1.0899	1.0729	0.9004	0.8802	1.0934	0.9638	1.0334	1.8176
	10	0.4624	0.8513	0.7101	0.6875	0.5611	0.7993	0.6021	0.7782	0.7093
Simulated gastric fluid T.T.	50	1.3997	1.3962	1.5587	1.1399	1.5024	1.2601	1.5416	1.1818	1.5888
	40	1.2405	1.3541	1.4456	1.0828	1.3909	1.1875	1.4378	1.1004	1.3692
	30	1.0453	1.2765	1.3181	0.9638	1.2601	1.0719	1.3010	1.0000	1.2014
	20	0.7202	1.1673	1.1004	0.8692	1.0792	0.9004	1.1004	0.8692	0.9227
	10	0.1004	0.9415	0.7404	0.6532	0.7803	0.5988	0.7604	0.6274	0.6812
Simulated intestinal fluid T.S.	50	1.5514	1.1584	1.5855	1.0607	1.5403	1.1847	1.6484	0.7404	1.6010
	40	1.4425	1.0899	1.4728	1.0128	1.4409	1.0934	1.3892	1.1903	1.5051
	30	1.3010	1.0000	1.3424	0.9032	1.3201	0.9590	1.1461	1.1761	1.3729
	20	1.0802	0.8976	1.1399	0.7924	1.1430	0.7853	0.9186	1.0682	1.1875
	10	0.7185	0.6749	0.7993	0.5611	0.8439	0.4800	0.4412	0.6522	0.8802

Table 3. Adsorption of coloring food additives on talc in purified water, simulated gastric fluid T.S. and simulated intestinal fluid T.S.

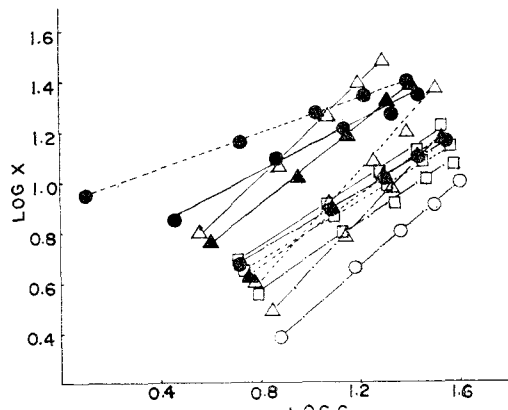
Initial conc. ( $\mu\text{g}/\text{ml}$ )	Coloring food additives										
	Red 2		Red 3		Red 40		Yellow 4		Yellow 5		
	$C$ $\mu\text{g}/\text{ml}$	$C/(x)$ $\times 10^{-5}$									
Purified water	50	44.5	8.090	44.1	7.474	42.4	5.578	33.0	1.941	41.8	5.097
	40	34.8	6.692	34.7	6.547	32.8	4.555	27.3	2.149	32.5	4.333
	30	25.4	5.521	25.7	5.976	23.6	3.687	23.0	3.285	23.6	3.687
	20	16.1	3.879	16.8	5.250	15.2	3.166	17.4	6.692	14.9	2.921
	10	7.2	2.571	8.1	4.263	6.9	2.225	7.5	3.000	6.8	2.125
Simulated gastric fluid T.S.	50	43.8	7.064	43.9	7.180	44.2	7.625	38.4	3.310	40.5	4.263
	40	34.5	6.272	34.4	6.142	34.9	6.843	29.9	2.762	31.5	3.588
	30	25.3	5.382	25.3	5.382	25.9	6.316	21.9	2.703	21.9	2.703
	20	16.2	4.263	16.3	4.405	16.9	5.451	14.4	2.571	13.9	2.278
	10	7.7	3.347	7.9	3.761	8.3	5.060	7.6	3.166	6.3	1.702
Simulated intestinal fluid T.S.	50	44.0	7.333	44.6	8.433	40.5	4.263	43.6	6.812	42.6	5.256
	40	34.9	6.843	35.4	7.695	32.0	4.000	34.1	5.779	32.7	4.479
	30	25.6	6.121	26.0	6.900	24.0	4.000	24.3	4.263	22.7	3.109
	20	16.8	5.250	17.0	5.666	17.7	7.695	15.1	3.081	13.5	2.077
	10	8.2	4.555	8.3	4.842	7.8	3.545	6.9	2.222	5.1	1.040

**Table 5.** Adsorption of coloring food additives on natural aluminum silicate in purified water, simulated gastric fluid T.S.

Initial conc. μg/ml	Coloring food additives										
	Red 2		Red 3		Red 40		Yellow 4		Yellow 5		
	log c	log x	log c	log x	log c	log x	log c	log x	log c	log x	
Purified water	50	1.5599	1.1367	1.3560	1.4362	1.4409	1.3502	1.5211	1.2253	1.5403	1.1847
	40	1.4393	1.0969	1.2405	1.3541	1.1399	1.4183	1.4014	1.1703	1.4281	1.1206
	30	1.2227	1.1239	1.1206	1.2253	0.8325	1.3655	1.2405	1.1004	1.2900	1.0212
	20	1.0253	0.9731	0.9201	1.0645	0.6010	1.2041	1.0086	0.9912	1.0645	0.9201
	10	0.7202	0.6767	0.5401	0.7225	0.5002	0.8306	0.5211	0.8248	0.6972	0.7007
Simulated gastric fluid T.S.	50	1.6021	0.9191	1.4683	1.3139	1.5011	1.2625	1.5786	1.0828	1.5378	1.1903
	40	1.5198	0.8888	1.2480	1.3483	1.2201	1.3682	1.3483	1.2480	1.2279	1.3636
	30	1.3284	0.9395	1.0414	1.2788	0.9085	1.0755	1.0334	1.2833	1.0453	1.2765
	20	1.1038	0.8633	0.8645	1.1004	0.7490	1.1553	0.8525	1.1072	0.7101	1.1703
	10	0.8615	0.4362	0.6284	0.7597	0.6075	0.7745	0.6803	0.7168	0.4624	0.8513
Simulated intestinal fluid T.S.	50	0.6693	0.5185	1.5211	1.2253	1.5403	1.1847	1.6010	1.0041	1.6010	1.0043
	40	1.5729	0.4150	1.4378	1.1004	1.3010	1.3010	1.3802	1.2041	1.3365	1.2625
	30	1.3711	0.8129	1.3032	0.9956	1.0414	1.2788	1.1673	1.1847	0.9015	1.3424
	20	1.2201	0.5315	1.1206	0.8325	0.8401	1.1139	0.9170	1.0682	0.7604	1.1523
	10	0.7412	0.6522	0.8069	0.5551	0.5866	0.7882	0.5888	0.7868	0.6484	0.7443



**Fig. 1.** Freundlich plot for adsorption of Red 2 (●) on kaolin in purified water(—)



**Fig. 2.** Freundlich plots for adsorption of Red 2(●), Red 3(□), Red 40(△), Yellow 4(▲), Yellow 5(○) on active carbon in purified water(—), simulated gastric fluid T.S.(.....), and simulated intestinal fluid T.S.(---)

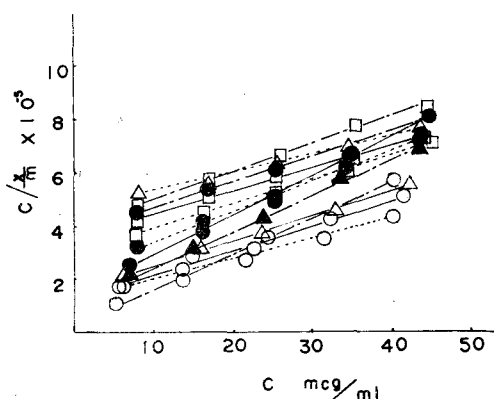


Fig. 3. Langmuir plots for adsorption of Red 2(●), Red 3(□), Red 40(△), Yellow 4(▲), Yellow 5(○) on talc in purified water(—), simulated gastric fluid T.S. (.....) and simulated intestinal fluid T.S.(---)

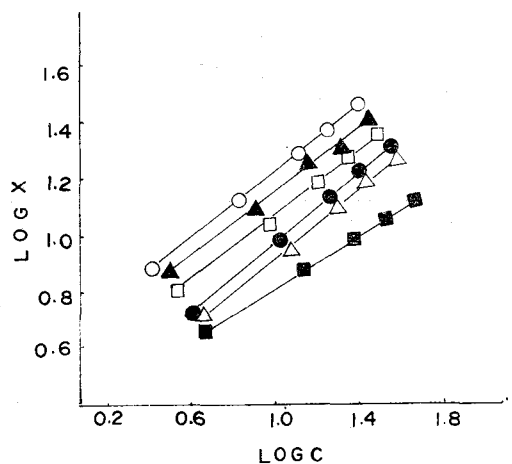


Fig. 5. Freudlich plots for adsorption of Red 2 on active carbon in the mixture of ethanol and water at 20C.  
 ○ 10% ethanol, ▲ 20% ethanol, □ 30% ethanol, ● 40% ethanol, △ 50% ethanol  
 ■ 60% ethanol

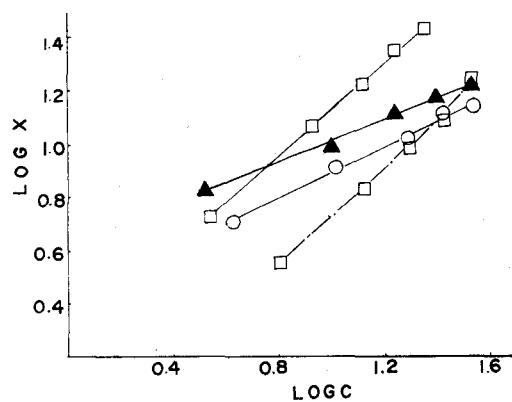


Fig. 4. Freundlich plots for adsorption of Red 3(□), Yellow 4(▲), Yellow 5(○) on natural aluminum silicate in purified water(—), simulated gastric fluid T.S. (.....) and simulated intestinal fluid T.S.(---)

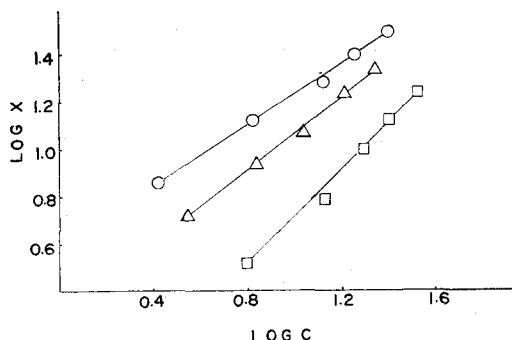


Fig. 6. The effect of temperature in the adsorption of Red 2 on active carbon in purified water.  
 ○ 24C, △ 34C, □ 50C

Table 5. Time required for reaching equilibrium

Drugs	Time required (hrs)				
	Red 2	Red 3	Red 40	Yellow 4	Yellow 5
Kaolin	6	5.5	5	5.5	6.5
Active carbon	3	4.5	3.5	3.5	3
Talc	7.5	6.5	6	7	6.5
Natural aluminum-silicate	6.5	6.5	7	7.5	8

度에 到達하였음을 알 수 있다.

## 2. 吸着에 미치는 ethanol, 溫度의 影響<sup>15)</sup>

10, 20, 30, 40, 50, 60% ethanol-water mixture 溶液에서 赤色 2號의 活性炭에 대한 吸着은 Fig. 5 에서 처럼 ethanol 比率이 낮을수록 吸着이 잘 된다. 이러한 結果는 吸着이 solvent와 吸着質, 吸着媒의 物性에 크게 左右됨을 알 수 있다. 溫度가 吸着에 미치는 영향을 알기 위하여 24°, 34°, 50° C에서 吸着量을 求하여 Freundlich 式에 따라 plot하면 Fig. 6에서 보는 바와 같이 吸着量은 溫度가 增加하면 減少하며 溫度가 減少하면 吸着量은 增加한다. 溫度가 上昇하면 吸着이 일어나는 境遇 吸着熱 發散을 隨伴하므로 溫度가 上昇하면 當然히 吸着量은 減少하게 된다.

### 3. 反應速度定數

本研究와 關聯되는 液相吸着에 對한 研究로는 Eagle과 Scott<sup>22)</sup>가 iso-octane으로 포화된 흡착제를 iso-octane-toluene 混合液에서 toluene을 吸着하는 경우에 對한 것이 있었는데 球型의 흡착제에 對하여 radial diffusion을 적용함으로써 흡착평형을 규명하였다. 또 Dryden과 Kay<sup>23)</sup>는 식초산 수용액의 흡착동온식을 결정하고 effective pore diffusivity를 입상활성탄의 종류에 따라 결정하였다. Smith等<sup>24)</sup>과 Dedrick等<sup>25)</sup>은 각각 2,4-dichlorophenol 및 2,4-dichlorophenoxyacetic acid 水溶液에 對한 吸着을 homogeneous diffusion과 pore diffusion에 對하여 考察하고 입상활성탄의 경우 homogeneous diffusion을 主된 메카니즘이라고 決定하였다. 半徑  $a$ 인 球型吸着劑에 radial diffusion이 일어나는 homogeneous diffusion model을 가정하면 平衡에 이르는 정도  $E$ 는 Crank<sup>26)</sup>에 의한 다음의 關係式으로 表示된다.

$$E = \begin{cases} \frac{6}{\sqrt{\pi}} \sqrt{\frac{Dt}{a^2}} - 3 \frac{Dt}{a^2} & \dots \dots \dots (5) \\ \text{但 } \sqrt{\frac{Dt}{a^2}} \leq 0.4 \\ 1 - \frac{6}{\pi^2} \exp\left(-\frac{\pi^2 Dt}{a^2}\right) & \dots \dots \dots (6) \\ \text{但 } \sqrt{\frac{Dt}{a^2}} \geq 0.4 \end{cases}$$

*D* : Effective diffusivity in homogeneous diffusion model, cm<sup>2</sup>/sec.

*t* : Adsorption time, hr.

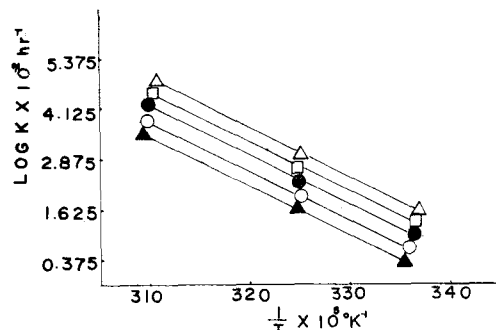
$E$ 는 무차원수로서  $E = \frac{C_i - C_t}{C_i - C_\infty}$ 로 주어지고  
 이때  $C$ 는 溶液의 色素濃度이고 첨자  $i, t, \infty$  等은  
 각各 初期,  $t$ 時間 및 무한대 時間에서의 値을 表示  
 하며  $\sqrt{\frac{D}{a^2}} = K_H$ 는 균일 확산에 對한 吸着速度  
 定數가 된다. 時間以外의 系의 變數가 一定한 경  
 우에 얹는 吸着速度曲線으로부터  $E$ 를 각 時間  $t$ 에  
 서 구하여 (5) 및 (6)式에 代入하면  $K_H$ , 즉  $\sqrt{\frac{D}{a^2}}$ 를  
 계산할 수 있고 이 model에 對한 유효확산계수  $D$   
 를 求할 수가 있다. Pore diffusion model의 경우  
 에 對한 吸着平衡을 나타내는 關係式은 Goodwin  
 等의 關係式을 引用할 수 있다. 즉 半徑  $a$ 인 球型  
 吸着劑粒子의 中心으로부터 임의의 거리를  $x$ 라고  
 하면 평형에서의 접근량  $E$ 는

으로 표시할 수 있으며 吸着速度曲線으로 부터 각時間  $t$ 에 對한  $\frac{x}{a}$  를 결정할 수가 있다. Goodwin의 研究에 依하면 Pore diffusion model에서는 다음과 같은 과정이 성립한다.

$q$  : Gram of dye adsorbed per gram of a single particle adsorbent at equilibrium, g/g

$C_0$ : Concentration of dye in solution at equilibrium, g/l

이 관계식을 이용하여 吸着速度定數  $K_{\text{pore}}$ 와 pore diffusivity,  $D_{\text{pore}}$ 를 계산할 수가 있다. 一般으로  $E=0.8$  이하에서는 분말 활성탄에 對하여는 pore



**Fig. 7.** Effect of temperature on rate constant of Red 2 (●), Red 3 (□), Red 40 (△), Yellow 4 (▲), and Yellow 5 (○).

Table 6. Rate constants and activation energies for coloring food additives.

Coloring food additives	Rate constant (hr <sup>-1</sup> )			Activation energy (kcal · g <sup>-1</sup> · mol <sup>-1</sup> · deg <sup>-1</sup> )
	24°	34°	50°	
Red 2	1.3 × 10 <sup>-2</sup>	2.39 × 10 <sup>-2</sup>	4.3 × 10 <sup>-2</sup>	8.75
Red 3	1.515 × 10 <sup>-2</sup>	2.70 × 10 <sup>-2</sup>	4.5 × 10 <sup>-2</sup>	7.96
Red 40	1.61 × 10 <sup>-2</sup>	3.02 × 10 <sup>-2</sup>	5.01 × 10 <sup>-2</sup>	8.32
Yellow 4	9.5 × 10 <sup>-3</sup>	1.85 × 10 <sup>-2</sup>	3.5 × 10 <sup>-2</sup>	9.58
Yellow 5	9.7 × 10 <sup>-3</sup>	2.15 × 10 <sup>-2</sup>	4.0 × 10 <sup>-2</sup>	10.38

diffusion model를 가상하는 것이合理的이다.<sup>27)</sup> Pore diffusivity<sup>23~26)</sup>가 각각 24°C( $1.62 \times 10^{-6}$  cm<sup>2</sup>/sec), 34°C( $2.07 \times 10^{-6}$  cm<sup>2</sup>/sec), 50°C( $2.83 \times 10^{-6}$  cm<sup>2</sup>/sec) 등의 각각 다른 温度에서 분말活性炭 1g ( $\alpha=0.012$  cm)을  $5 \times 10^{-2}$  g/l의 食品着色劑의 溶液에 吸着시킬 때 얻어지는  $K_{pore}$  값은 絶對溫度의 逆數에 對하여 plot하면 Fig. 7과 같은 직선을 얻고 Arrhenius의 式  $K_{pore}=A\exp(-E_A/RT)$ 을 이용하여 食品着色劑의 吸着活性화 에너지를 求한結果는 Table 6과 같다. 이 값들은 分子構造가 다르지만 같은 液狀吸着이라는 點을 고려할 때 phenol이나 2,4-dichlorophenoxyacetic acid等<sup>28~29)</sup>의活性화에너지와 同一 order에 있는 값이다.

### 要 約

흡착제에 대한 식용색소의 흡착특성을 구명하기 위해 6종 색소의 여러 용액을 흡착제와 작용시켜 흡착특성과 영향요소를 조사하였다. Kaolin은 赤色2號의 蒸溜水, active carbon은 赤色2號, 3號40號等의 蒸溜水, 人工胃液, 人工腸液, 黃色4號의 蒸溜水, 人工胃液, 黃色5號의 人工腸液, natural aluminum silicate는 赤色3號의 蒸溜水, 人工腸液, 黃色4號, 5號의 蒸溜水 등에선 Freundlich式에 一致하였다. 또한 talc는 赤色2號, 3號, 黃色5號의 蒸溜水, 人工胃液, 人工腸液, 赤色40號의 蒸溜水, 人工胃液, 黃色4號의 人工腸液에서 각각 Langmuir式에 一致하였다. 그리고 ethanol-water mixture에서는 알코올 비율이 낮을수록 吸着이 잘 되며 吸着에 미치는 온도의 영향은 温度가 증가함에 따라 吸着量은 감소하였다. 또한 各 食品着色劑의 吸着活性화에너지의 크기순서는 黃色5號 > 黃色4號 > 赤色2號 > 赤色40號 > 赤色3號의順이 있다.

### 参考文獻

1. 문법수: 국립보건원, 9: 229 (1972)
2. Palmer, S., Paport, J.L., and Quinn, P.O.: Clinical pediatrics, 14: 956 (1975)
3. Feingold, B.: Hosp. prac., 8: 11 (1973)
4. Gale, A.E.: Med. J. Aust., 10: 546 (1976)
5. Feingold, B.: 'Why your child is hyperactive,' Random House, N.Y. (1975)
6. Kim, J.O.: Korean J. Nutr., 12(3): 25 (1979)
7. Nogami, H.: Chem. Pharm. Bull., 17: 176 (1969)
8. Muller, F., and Mielck, J.B.: Archiv der pharm., 301: 631 (1968)
9. Ridout, C.W.: Pharmaceutica Acta Helv., 43: 177 (1968)
10. Seller, E.M.: J. Pharm. Sci., 66: 1640 (1977)
11. Park, H.K., Han, K.S., and Kim, K.B.: Seoul Univ. J. (C), 22: 41 (1972)
12. Choi, C. and Kim, S.O.: J. Kor. Chem. Soc., 21: 445 (1977)
13. 최청: 영남대학교 논문집, 9집: 357 (1975)
14. Kim, Y.J., Woo, C.H., and Kim, S.K.: J. Pharm. Soc. Korea, 15: 1 (1971)
15. Paik, W.H.: J. Pharm. Soc. Korea, 23: 133 (1979)
16. Evicim, N. and Barr, M.: J. Am. Pharm. Assoc., 44: 570 (1955)
17. Higuchi, and Lich, L.: J. Am. Pharm. Assoc., Sci. Ed., 43: 529 (1954)
18. 谷村顯雄(編): 食品添加物の分析II, p. 29. 講

- 談社, (1970)
19. Kang, S.H. and Paik, S.K.: J. Kiche., 10 (2) : 51 (1972)
20. Goodwin, R.D. and Weisz, P.B.: J. Catalysis, 2 : 397 (1963)
21. Kim, J.E. and Hong, J.U.: J. Korean Agr. Chem. Soc., 28(3) : 124 (1985)
22. Eagle, S. and Scott, J.W.: Ind. Eng. Chem., 42 : 1287 (1950)
24. Smith, S.B.: Chem. Eng. Progr. Sym. Ser. No, 24, 55 : 25 (1959)
25. Dedrick, R.L.: Chem. Eng. Progr. Sym. Ser. No, 74, 63 : 68 (1967)
26. Crank, J.: The Mathematics of Diffusion, Oxford Univ. Press, London (1956)
27. Wheeler, A.: 'Catalysis', P.H. Emmet(ed), Vol. 11, p.129, Reinhold, N.Y. (1955)
28. Edeskuty, J. Fand Amundsen, N.R.: Ind. Eng. Chem., 44 : 1698 (1952)
29. Tien, C.: Canadian J. Chem. Eng., 38 : 25 (1960)